

# Hyperjemná struktura vodíku, skládání spinů, singletní stav

Martin Štefaňák

24. listopadu 2020

- 1 Hyperjemná struktura vodíku
- 2 Skládání spinů
- 3 Singletní stav

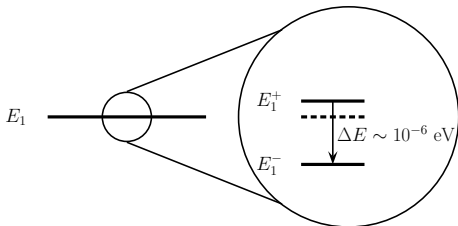
- 1 Hyperjemná struktura vodíku
- 2 Skládání spinů
- 3 Singletní stav

# Hyperjemná struktura vodíku

- Energetické hladiny vodíku -  $E_N = -\frac{R}{N^2}$ ,  $N \in \mathbb{N}$
- Základní hladina  $E_1$  je nedegenerovaná
- Při započítání spinu elektronu a spinu protonu má degeneraci 4
- Ve skutečnosti jde o multiplet dvou velmi blízkých hladin

$$\Delta E = E_1^+ - E_1^- \sim 10^{-6} \text{ eV}$$

- Důsledek interakce spinu elektronu a spinu protonu



# Spin elektronu a protonu

- Hilbertovy prostory spinu elektronu a protonu

$$\mathcal{H}^{(e)} = [|+e\rangle, |-e\rangle]_{\lambda}, \quad \mathcal{H}^{(p)} = [|+p\rangle, |-p\rangle]_{\lambda}$$

- Hilbertův prostor složeného systému

$$\mathcal{H} = \mathcal{H}^{(e)} \otimes \mathcal{H}^{(p)} = [|+e, +p\rangle, |+e, -p\rangle, |-e, +p\rangle, |-e, -p\rangle]_{\lambda}$$

- Standardní báze

$$\begin{aligned} |+e, +p\rangle &\equiv (1, 0, 0, 0)^T, & |+e, -p\rangle &\equiv (0, 1, 0, 0)^T, \\ |-e, +p\rangle &\equiv (0, 0, 1, 0)^T, & |-e, -p\rangle &\equiv (0, 0, 0, 1)^T. \end{aligned}$$

# Operátory spinu elektronu

$$\hat{S}_j^{(e)} = \hat{S}_j \otimes \hat{1} \implies S_j^{(e)} = \frac{\hbar}{2} \sigma_j \otimes I$$

## Matice složek spinu elektronu

$$S_1^{(e)} = \frac{\hbar}{2} \begin{pmatrix} 0 & 0 & 1 & 0 \\ 0 & 0 & 0 & 1 \\ 1 & 0 & 0 & 0 \\ 0 & 1 & 0 & 0 \end{pmatrix}, \quad S_2^{(e)} = \frac{\hbar}{2} \begin{pmatrix} 0 & 0 & -i & 0 \\ 0 & 0 & 0 & -i \\ i & 0 & 0 & 0 \\ 0 & i & 0 & 0 \end{pmatrix}$$

$$S_3^{(e)} = \frac{\hbar}{2} \begin{pmatrix} 1 & 0 & 0 & 0 \\ 0 & 1 & 0 & 0 \\ 0 & 0 & -1 & 0 \\ 0 & 0 & 0 & -1 \end{pmatrix}$$

# Operátory spinu protonu

$$\hat{S}_j^{(p)} = \hat{I} \otimes \hat{S}_j \implies S_j^{(p)} = \frac{\hbar}{2} I \otimes \sigma_j$$

## Matice složek spinu protonu

$$S_1^{(p)} = \frac{\hbar}{2} \begin{pmatrix} 0 & 1 & 0 & 0 \\ 1 & 0 & 0 & 0 \\ 0 & 0 & 0 & 1 \\ 0 & 0 & 1 & 0 \end{pmatrix}, \quad S_2^{(p)} = \frac{\hbar}{2} \begin{pmatrix} 0 & -i & 0 & 0 \\ i & 0 & 0 & 0 \\ 0 & 0 & 0 & -i \\ 0 & 0 & i & 0 \end{pmatrix}$$

$$S_3^{(p)} = \frac{\hbar}{2} \begin{pmatrix} 1 & 0 & 0 & 0 \\ 0 & -1 & 0 & 0 \\ 0 & 0 & 1 & 0 \\ 0 & 0 & 0 & -1 \end{pmatrix}$$

# Interakce spinu protonu a elektronu

- Hamiltonián interakce spinů (resp. magnetických momentů)

$$\hat{H} = \tilde{A} \hat{\mu}^{(e)} \cdot \hat{\mu}^{(p)} = \frac{4}{\hbar^2} A \hat{S}^{(e)} \cdot \hat{S}^{(p)}, \quad A = \mu_e \mu_p \tilde{A}$$

- Matice hamiltoniánu ve standardní bázi

$$H = A \sigma_j \otimes \sigma_j = \begin{pmatrix} A & 0 & 0 & 0 \\ 0 & -A & 2A & 0 \\ 0 & 2A & -A & 0 \\ 0 & 0 & 0 & A \end{pmatrix}$$



# Hyperjemná struktura vodíku

- Vlastní čísla matice jsou  $E_+ = A$  a  $E_- = -3A$
- Základní hladina vodíku  $E_1$  — multiplet blízkých hladin  $E_1^\pm$

$$E_1^+ = E_1 + E_+ = -R + A, \quad E_1^- = E_1 + E_- = -R - 3A$$

- Přejchod mezi hladinami — vyzáření mikrovlnného fotonu

$$h\nu = \Delta E = 4A$$

- Z experimentálních dat plyne

$$\nu \doteq 1420 \text{ MHz}, \quad \lambda \doteq 21 \text{ cm}, \quad \Delta E \doteq 5.9 \cdot 10^{-6} \text{ eV}$$

# Vlastní vektory hamiltoniánu

## Podprostor $E_-$

$$|\psi^-\rangle = \frac{1}{\sqrt{2}} (|+e, -p\rangle - |-e, +p\rangle) \equiv \frac{1}{\sqrt{2}} (0, 1, -1, 0)^T$$

## Podprostor $E_+$

$$|\psi_1^+\rangle = |+e, +p\rangle = (1, 0, 0, 0)^T$$

$$|\psi_2^+\rangle = \frac{1}{\sqrt{2}} (|+e, -p\rangle + |-e, +p\rangle) \equiv \frac{1}{\sqrt{2}} (0, 1, 1, 0)^T$$

$$|\psi_3^+\rangle = |-e, -p\rangle = (0, 0, 0, 1)^T$$

Jsou to současně vlastní vektory celkového spinu

- 1 Hyperjemná struktura vodíku
- 2 Skládání spinů
- 3 Singletní stav

# Celkový spin atomu vodíku

- Operátory celkového spinu atomu vodíku

$$\hat{J}_k = \hat{S}_k^{(e)} + \hat{S}_k^{(p)}$$

- Matice operátorů ve standardní bázi

$$J_1 = \frac{\hbar}{2} \begin{pmatrix} 0 & 1 & 1 & 0 \\ 1 & 0 & 0 & 1 \\ 1 & 0 & 0 & 1 \\ 0 & 1 & 1 & 0 \end{pmatrix}, \quad J_2 = \frac{\hbar}{2} \begin{pmatrix} 0 & -i & -i & 0 \\ i & 0 & 0 & -i \\ i & 0 & 0 & -i \\ 0 & i & i & 0 \end{pmatrix}$$

$$J_3 = \hbar \begin{pmatrix} 1 & 0 & 0 & 0 \\ 0 & 0 & 0 & 0 \\ 0 & 0 & 0 & 0 \\ 0 & 0 & 0 & -1 \end{pmatrix}$$

# Celkový spin atomu vodíku

- Splňují komutační relace pro moment hybnosti

$$[\hat{J}_k, \hat{J}_l] = i\hbar\varepsilon_{klm}\hat{J}_m$$

- $\hat{J}_3$  a  $\hat{J}^2$  jsou kompatibilní
- Navíc jsou kompatibilní s  $\hat{S}^{(e)2}$  a  $\hat{S}^{(p)2}$  (oba operátory jsou  $\frac{3}{4}\hbar^2\hat{I}$ )
- Společné vlastní vektory  $|\frac{1}{2}, \frac{1}{2}, j, m\rangle$

$$\hat{S}^{(\alpha)2}|\frac{1}{2}, \frac{1}{2}, j, m\rangle = \frac{3}{4}\hbar^2|\frac{1}{2}, \frac{1}{2}, j, m\rangle, \quad \alpha = e, p$$

$$\hat{J}_3|\frac{1}{2}, \frac{1}{2}, j, m\rangle = m\hbar|\frac{1}{2}, \frac{1}{2}, j, m\rangle$$

$$\hat{J}^2|\frac{1}{2}, \frac{1}{2}, j, m\rangle = \hbar^2j(j+1)|\frac{1}{2}, \frac{1}{2}, j, m\rangle$$

# Kvadrát velikosti celkového spinu

- $\hat{J}^2$  není kompatibilní s  $\hat{S}_3^{(e)}$  a  $\hat{S}_3^{(p)}$ , pouze s jejich součtem  $\hat{J}_3$

$$\begin{aligned}\hat{J}^2 &= \hat{S}^{(e)2} + 2\hat{S}^{(e)} \cdot \hat{S}^{(p)} + \hat{S}^{(p)2}, \\ [\hat{J}^2, \hat{S}_3^{(e)}] &= 2 [\hat{S}_j^{(e)}, \hat{S}_3^{(e)}] \hat{S}_j^{(p)} = 2i\hbar\epsilon_{j3k} \hat{S}_k^{(e)} \hat{S}_j^{(p)} \\ &= 2i\hbar (\hat{S}_1^{(e)} \hat{S}_2^{(p)} - \hat{S}_2^{(e)} \hat{S}_1^{(p)})\end{aligned}$$

- $\hat{J}^2$  není ve standardní bázi diagonální

$$J^2 = \hbar^2 \begin{pmatrix} 2 & 0 & 0 & 0 \\ 0 & 1 & 1 & 0 \\ 0 & 1 & 1 & 0 \\ 0 & 0 & 0 & -2 \end{pmatrix}$$

# Vlastní vektory celkového spinu

Vlastní čísla matice  $J^2 = 0$  (prosté) a  $2\hbar^2$  (násobnost 3)

Podprostor  $j = 0$  — singlet

$$|\frac{1}{2}, \frac{1}{2}, 0, 0\rangle = \frac{1}{\sqrt{2}} (|+e, -p\rangle - |-e, +p\rangle) = |\psi^-\rangle$$

Podprostor  $j = 1$  — triplet

$$|\frac{1}{2}, \frac{1}{2}, 1, 1\rangle = |+e, +p\rangle = |\psi_1^+\rangle$$

$$|\frac{1}{2}, \frac{1}{2}, 1, 0\rangle = \frac{1}{\sqrt{2}} (|+e, -p\rangle + |-e, +p\rangle) = |\psi_2^+\rangle$$

$$|\frac{1}{2}, \frac{1}{2}, 1, -1\rangle = |-e, -p\rangle = |\psi_3^+\rangle$$

# Hyperjemná struktura vodíku

- Interakce spinů pomocí operátorů kvadrátů velikosti spinů

$$\hat{\vec{S}}^{(e)} \cdot \hat{\vec{S}}^{(p)} = \frac{1}{2} (\hat{J}^2 - \hat{S}^{(e)2} - \hat{S}^{(p)2})$$

- Kety  $|\frac{1}{2}, \frac{1}{2}, j, m\rangle$  jsou vlastní vektory interakce spinů

$$\begin{aligned}\hat{\vec{S}}^{(e)} \cdot \hat{\vec{S}}^{(p)} |\frac{1}{2}, \frac{1}{2}, 0, 0\rangle &= -\frac{3}{4} \hbar^2 |\frac{1}{2}, \frac{1}{2}, 0, 0\rangle \\ \hat{\vec{S}}^{(e)} \cdot \hat{\vec{S}}^{(p)} |\frac{1}{2}, \frac{1}{2}, 1, m\rangle &= \frac{\hbar^2}{4} |\frac{1}{2}, \frac{1}{2}, 1, m\rangle\end{aligned}$$

- Jsou to i vlastní vektory hamiltoniánu hyperjemné struktury

$$\hat{H} |\frac{1}{2}, \frac{1}{2}, 0, 0\rangle = -3A |\frac{1}{2}, \frac{1}{2}, 0, 0\rangle, \quad \hat{H} |\frac{1}{2}, \frac{1}{2}, 1, m\rangle = A |\frac{1}{2}, \frac{1}{2}, 1, m\rangle$$



- 1 Hyperjemná struktura vodíku
- 2 Skládání spinů
- 3 Singletní stav**

$$|\psi^-\rangle = \frac{1}{\sqrt{2}} (|+e\rangle \otimes |-p\rangle - |-e\rangle \otimes |+p\rangle)$$

Provázaný stav — nelze faktorizovat

$$|\psi^-\rangle \neq |\psi_e\rangle \otimes |\psi_p\rangle$$

## Měření spinu jedné částice

- Projekce spinu  $e$  i  $p$  do libovolného směru jsou zcela náhodné
- Pravděpodobnost kladné i záporné projekce je  $\frac{1}{2}$

## Současné měření spinu obou částic

- Projekce spinu  $e$  a  $p$  do stejného směru jsou perfektně antikorelované
- Naměříme kladnou projekci spinu  $e$  do směru  $\vec{n}$  —  $p$  má zápornou

# Projekce spinu elektronu v singletním stavu

- Projekce spinu je zcela náhodná  $\Leftrightarrow$  střední hodnota je nulová
- Operátor projekce spinu elektronu do směru  $\vec{n}(\theta, \varphi)$

$$\hat{S}_{\vec{n}}^{(e)} = \vec{n} \cdot \hat{\vec{S}} \otimes \hat{I}, \quad \vec{n} \cdot \vec{S} = \frac{\hbar}{2} \vec{n} \cdot \vec{\sigma} = \frac{\hbar}{2} \begin{pmatrix} \cos \theta & \sin \theta e^{-i\varphi} \\ \sin \theta e^{i\varphi} & -\cos \theta \end{pmatrix}$$

- Střední hodnota projekce spinu elektronu do směru  $\vec{n}$

$$\begin{aligned} \langle \hat{S}_{\vec{n}}^{(e)} \rangle_{\psi^-} &= \langle \psi^- | \hat{S}_{\vec{n}}^{(e)} | \psi^- \rangle = \frac{1}{2} \left( \langle +e | \vec{n} \cdot \hat{\vec{S}} | +e \rangle + \langle -e | \vec{n} \cdot \hat{\vec{S}} | -e \rangle \right) \\ &= \frac{1}{2} \left( \frac{\hbar}{2} \cos \theta - \frac{\hbar}{2} \cos \theta \right) = 0 \end{aligned}$$

- Stejný výsledek platí i pro projekci spinu protonu

# Projekce spinu jedné samotné částice

Pro jednu částici ve stavu  $|\psi\rangle$  toto nastat nemůže

- Pro každý spinor  $|\psi\rangle$  mohu najít směr  $\vec{p}$ , tak, že  $|\psi\rangle = |\vec{p}+\rangle$

$$\begin{aligned}\hat{S}_{\vec{p}}|\vec{p}+\rangle &= \frac{\hbar}{2}|\vec{p}+\rangle, \quad \vec{p} = (\sin \alpha \cos \beta, \sin \alpha \sin \beta, \cos \alpha) \\ |\vec{p}+\rangle &= \cos \frac{\alpha}{2}|+\rangle + \sin \frac{\alpha}{2}e^{i\beta}|-\rangle\end{aligned}$$

- Střední hodnota projekce spinu do směru  $\vec{n}$  ve stavu  $|\vec{p}+\rangle$

$$\langle \hat{S}_{\vec{n}} \rangle_{\vec{p}+} = \frac{\hbar}{2} \vec{n} \cdot \vec{p}$$

# Měření projekce spinu $e$ a $p$ do osy $z$

$$|\psi^-\rangle = \frac{1}{\sqrt{2}} (|+e\rangle \otimes |-p\rangle - |-e\rangle \otimes |+p\rangle)$$

- Měřím projekci spinu elektronu do osy  $z$ , naměřím kladnou
- Stav po měření je popsán ketem

$$|\psi\rangle = |+e\rangle \otimes |-p\rangle$$

- Proton má s jistotou zápornou projekci spinu do osy  $z$
- Analogicky pro naměření záporné projekce spinu elektronu má proton s jistotou kladnou projekci spinu do osy  $z$

Projekce spinu do osy  $z$  jsou perfektně antikorelovány

# Měření projekce spinu $e$ a $p$ do libovolného směru $\vec{n}$

- Vlastní vektory s kladnou a zápornou projekcí spinu do směru  $\vec{n}$

$$\begin{aligned} |\vec{n}+\rangle &= \cos\frac{\theta}{2}|+\rangle + \sin\frac{\theta}{2}e^{i\varphi}|-\rangle \\ |\vec{n}-\rangle &= \sin\frac{\theta}{2}|+\rangle - \cos\frac{\theta}{2}e^{i\varphi}|-\rangle \end{aligned}$$

- Singletní stav lze zapsat ve tvaru

$$\begin{aligned} |\psi^-\rangle &= \frac{1}{\sqrt{2}} (|+e\rangle \otimes |-p\rangle - |-e\rangle \otimes |+p\rangle) \\ &= -e^{-i\varphi} \frac{1}{\sqrt{2}} (|\vec{n}+e\rangle \otimes |\vec{n}-p\rangle - |\vec{n}-e\rangle \otimes |\vec{n}+p\rangle) \end{aligned}$$

Perfektní antikorelace platí pro projekce do libovolného směru  $\vec{n}$

- Singletní stav je příklad maximálně provázaného stavu
- Kvantový stav — soubor informací o možných výsledcích měření
- V singletním stavu  $e$  a  $p$  nenesou žádné informace
- Jejich individuální stavy nelze popsat vektorem, musí se použít obecnější popis pomocí matice hustoty
- Veškeré informace v singletním stavu jsou v antikorelacích výsledků měření na  $e$  a  $p$